

# Une étude comparée de deux ensembles de quadrangulations

Emmanuel Guitter (IPhT, CEA Saclay)

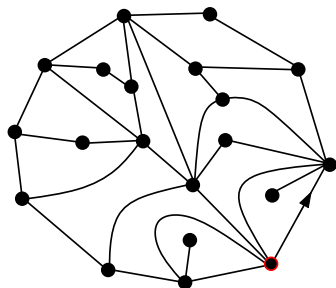
28 oct 2015

travail en commun avec Éric Fusy

# Quadrangulations planaires à bord

≡ cartes planaires enracinées dont toutes les faces internes ont degré 4

⇒ la face externe a degré pair  
(= longueur du bord)



## 1ère caractérisation

$F_n$  = fonction génératrice des quadrangulations à bord de longueur  $2n$

ou sous forme compacte

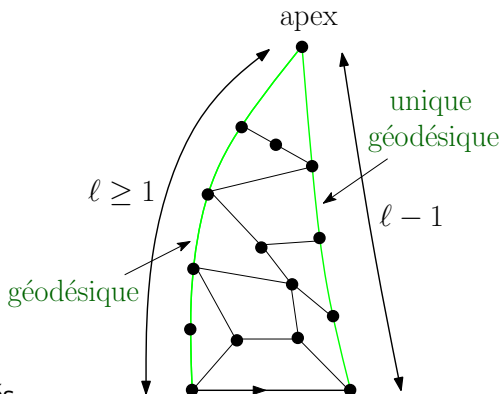
$$F(z) = \sum_{n \geq 0} F_n z^n$$

# “Slices” = portions de quadrangulation

≡ quadrangulations à bord particulières

**apex** ≡ sommet à distance  $\ell$  du sommet racine le long du bord (de longueur  $2\ell$ )

- est à distance  $\ell$  du sommet racine sur la carte (bord gauche = géodésique)
- est à distance  $\ell - 1$  de l'extrémité de l'arête racine (bord droit = géodésique)
- le bord droit est l'unique géodésique entre ses extrémités



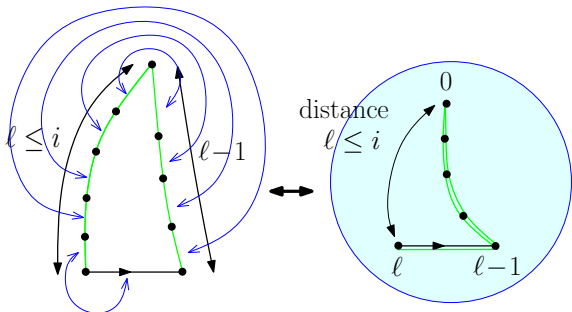
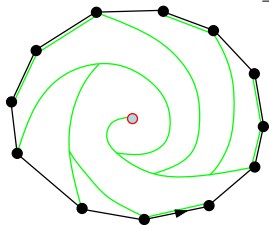
## 2ème caractérisation

$R_i$  = fonction génératrice des slices avec  $\ell \leq i$

ce que nous savons bien ...

- les  $F_n$  et les  $R_i$  sont intimement liés  $\rightarrow$  on a typiquement

$$F(z) = \sum_{n \geq 0} F_n z^n = \frac{1}{1 - z \frac{1}{R_1}} = \frac{1}{1 - z \frac{1}{1 - z \frac{1}{R_2}}} = \frac{1}{1 - z \frac{1}{1 - z \frac{1}{1 - z \frac{1}{R_3}}}} = \frac{1}{1 - z \frac{1}{1 - z \frac{1}{1 - z \frac{1}{1 - \dots}}}}$$

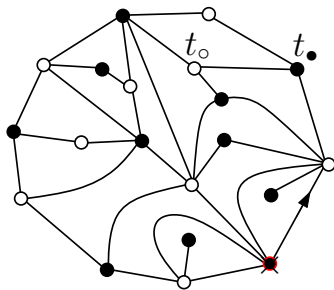


- la connaissance des  $R_i$  donne immédiatement la fonction à deux points dépendant des distances

# 1er ensemble: quadrangulations bicoloriées

On bicolore la quadrangulation en noir et blanc (sommet racine = noir)

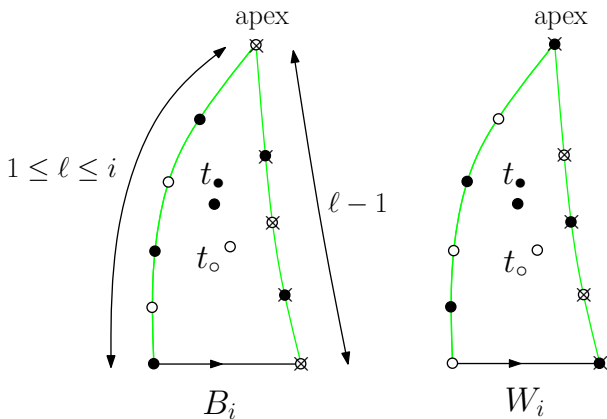
- poids  $t_{\bullet}$  par sommet noir autre que le sommet racine
- poids  $t_{\circ}$  par sommet blanc



$$F_n \rightarrow F_n^{(1)}(t_{\bullet}, t_{\circ})$$

$R_i$  se décline sous deux espèces

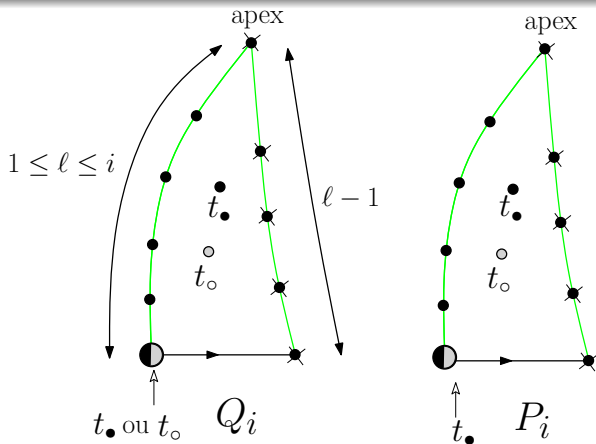
$$R_i \rightarrow \begin{cases} B_i(t_\bullet, t_\circ) \\ W_i(t_\bullet, t_\circ) \end{cases}$$





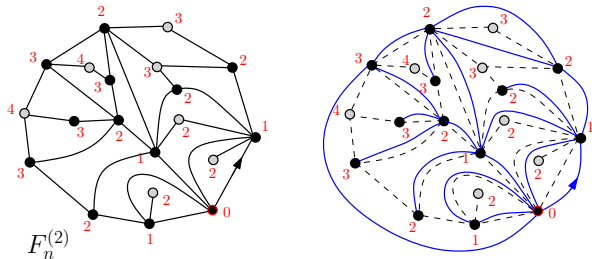
Pour les slices, on regarde les maxima locaux pour la distance à l'apex

$$R_i \rightarrow \begin{cases} Q_i(t_\bullet, t_\circ) \\ P_i(t_\bullet, t_\circ) \end{cases}$$



# Comparaison des $F_n$

on a l'identité  $F_n^{(2)}(t_\bullet, t_\circ) = F_n^{(1)}(t_\bullet, t_\circ)$

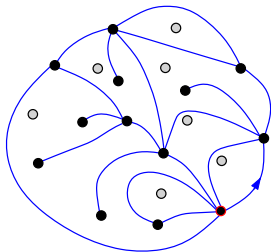
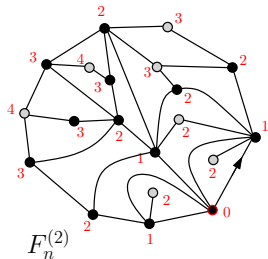


## Bijection d'Ambjørn-Budd (généralisée)

- dans chaque face interne, on relie les deux coins suivis (dans le sens horaire) par une étiquette plus grande
- dans la face externe, on relie cycliquement les coins successifs suivis (dans le sens anti-horaire) par une étiquette plus grande

# Comparaison des $F_n$

on a l'identité  $F_n^{(2)}(t_\bullet, t_\circ) = F_n^{(1)}(t_\bullet, t_\circ)$



carte à bord sans ponts\*  
de longueur  $n$   
avec un  $\circ$   
dans chaque face

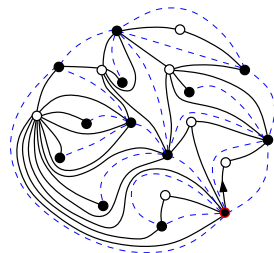
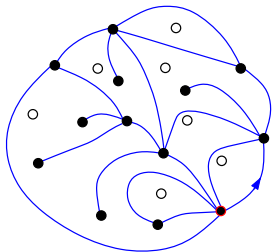
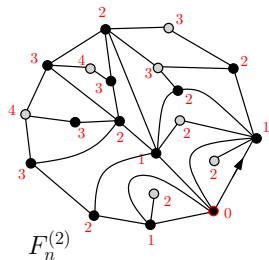
\* en fait la face externe est une hyperarête

## Bijection d'Ambjørn-Budd (généralisée)

- dans chaque face interne, on relie les deux coins suivis (dans le sens horaire) par une étiquette plus grande
- dans la face externe, on relie cycliquement les coins successifs suivis (dans le sens anti-horaire) par une étiquette plus grande

# Comparaison des $F_n$

on a l'identité  $F_n^{(2)}(t_\bullet, t_\circ) = F_n^{(1)}(t_\bullet, t_\circ)$

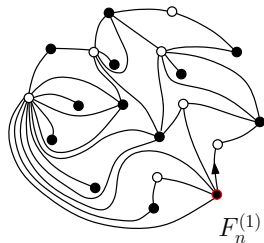
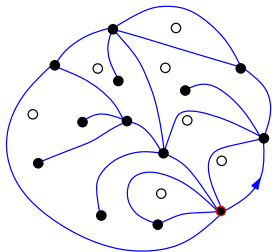
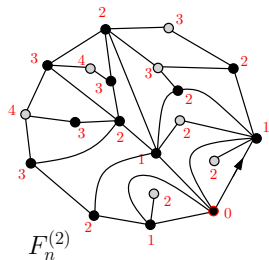


## Bijection classique (généralisée)

- on colorie les sommets gris en blanc !
- dans chaque face interne, on relie le sommet blanc aux coins noirs de la face

# Comparaison des $F_n$

on a l'identité  $F_n^{(2)}(t_\bullet, t_\circ) = F_n^{(1)}(t_\bullet, t_\circ)$



## Bijection classique (généralisée)

- on colorie les sommets gris en blanc !
- dans chaque face interne, on relie le sommet blanc aux coins noirs de la face

# Comparaison des $(B_i, W_i)$ et des $(P_i, Q_i)$

Récurrance pour  $(B_i, W_i)$ :

$$B_i = t_{\bullet} \rightarrow \otimes + \begin{array}{c} \text{Diagram 1} \\ B_i W_{i-1} \end{array} + \begin{array}{c} \text{Diagram 2} \\ B_i B_i \end{array} + \begin{array}{c} \text{Diagram 3} \\ W_{i+1} B_i \end{array}$$

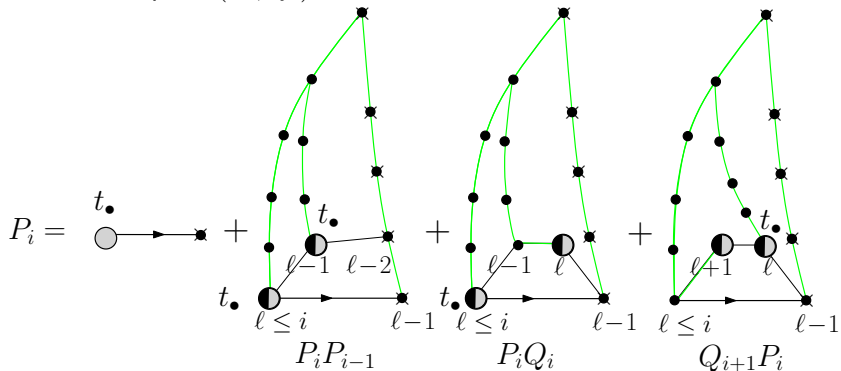
The diagram shows the recurrence for  $B_i$  as a sum of four terms. The first term is a single edge from a black dot to a crossed square. The second, third, and fourth terms are triangular diagrams with vertices at the bottom-left (black dot), bottom-right (crossed square), and top (crossed square). The left edge is green, the right edge is green, and the bottom edge is black. The top vertex is connected to the left edge by a green line. The bottom edge is labeled with  $l-1$  and  $l-2$  for the first diagram,  $l-1$  and  $l$  for the second, and  $l+1$  and  $l$  for the third. The diagrams are labeled  $B_i W_{i-1}$ ,  $B_i B_i$ , and  $W_{i+1} B_i$  respectively.

$$B_i = t_{\bullet} + B_i(W_{i-1} + B_i + W_{i+1})$$

$$W_i = t_{\circ} + W_i(B_{i-1} + W_i + B_{i+1})$$

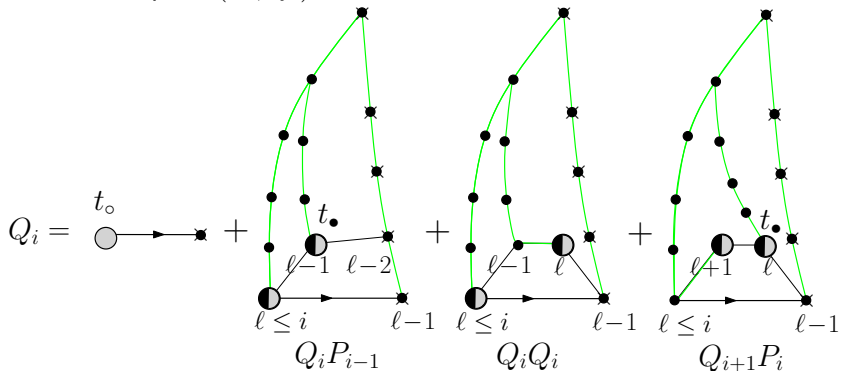
pour  $i \geq 1$ , avec  $B_0 = W_0 = 0$

Récurrance pour  $(P_i, Q_i)$ :



$$P_i = t_{\bullet} + P_i(P_{i-1} + Q_i + Q_{i+1})$$

Récurrance pour  $(P_i, Q_i)$ :



$$P_i = t_{\bullet} + P_i(P_{i-1} + Q_i + Q_{i+1})$$

$$Q_i = t_o + Q_i(P_{i-1} + Q_i) + P_i Q_{i+1}$$

pour  $i \geq 1$ , avec  $P_0 = Q_0 = 0$

# Comparaison des slices à bord de longueur arbitraire

Si on supprime la contrainte  $\ell \leq i$ :

$$B_i \rightarrow B \equiv \lim_{i \rightarrow \infty} B_i$$

On définit de même les limites  $W$ ,  $P$  et  $Q$  de  $W_i$ ,  $P_i$  et  $Q_i$

alors

$$B = t_{\bullet} + B(2W + B) \quad W = t_{\circ} + W(2B + W)$$

$$P = t_{\bullet} + P(2Q + P) \quad Q = t_{\circ} + Q(2P + Q)$$

et donc

$$P = B \quad Q = W$$

# Comparaison des deux ensembles

ensemble 1

$$F_n^{(1)}$$

$$B$$

$$W$$

ensemble 2

$$F_n^{(2)}$$

$$P$$

$$Q$$

en revanche, les  $B_i$  et  $W_i$  ne sont pas égaux aux  $P_i$  et  $Q_i$

$$B_2 = t_{\bullet} + t_{\bullet}(t_{\bullet} + 2t_{\circ}) + t_{\bullet}(2t_{\bullet}^2 + 9t_{\bullet}t_{\circ} + 6t_{\circ}^2) + \dots$$

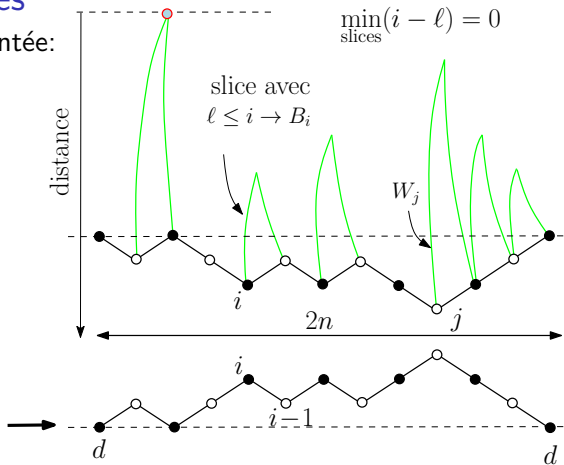
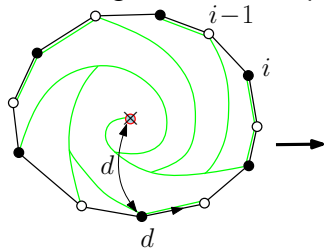
$$W_2 = t_{\circ} + t_{\circ}(2t_{\bullet} + t_{\circ}) + t_{\circ}(6t_{\bullet}^2 + 9t_{\bullet}t_{\circ} + 2t_{\circ}^2) + \dots$$

$$P_2 = t_{\bullet} + t_{\bullet}(t_{\bullet} + 2t_{\circ}) + t_{\bullet}(t_{\bullet}^2 + 10t_{\bullet}t_{\circ} + 6t_{\circ}^2) + \dots$$

$$Q_2 = t_{\circ} + t_{\circ}(2t_{\bullet} + t_{\circ}) + t_{\circ}(5t_{\bullet}^2 + 10t_{\bullet}t_{\circ} + 2t_{\circ}^2) + \dots$$

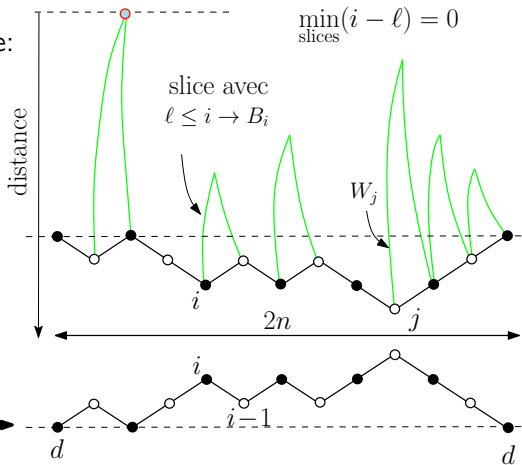
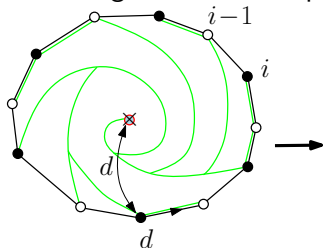
# Décomposition en slices

Quadrangulation à bord pointée:



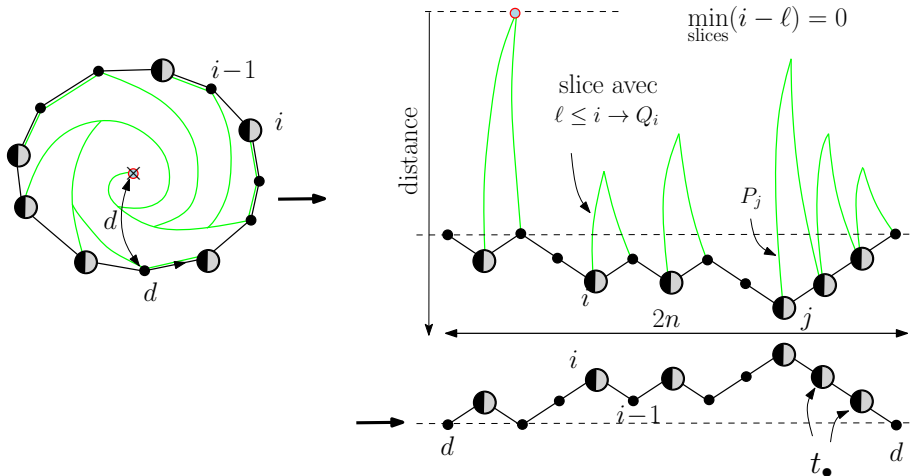
# Décomposition en slices

Quadrangulation à bord pointée:



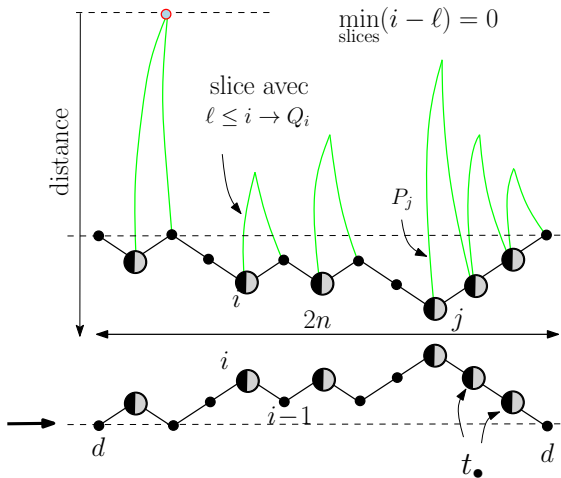
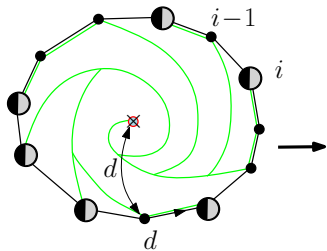
Suppression du pointage:  $d = 0$

$F_n(t_\bullet, t_\circ) =$  f.g. des chemins de Dyck bicoloriés de longueur  $2n$  (de 0 à 0 restant  $\geq 0$ ), avec poids  $B_i$  (resp.  $W_i$ ) par descente  $i \rightarrow i - 1$  commençant par un sommet noir (resp. blanc)



maxima locaux pour la distance au sommet pointé = maxima locaux dans les slices pour la distance à l'apex SAUF pour le sommet racine de chaque slice. Si on suit une descente, ce n'est pas un maximum local pour la distance au sommet pointé même si c'en est un dans sa slice  $\rightarrow t$ .

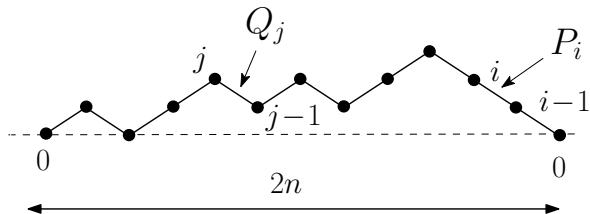
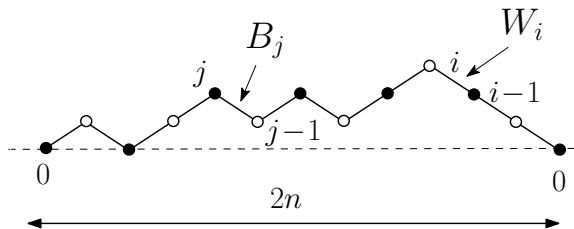
$\rightarrow$  la slice est énumérée par  $P_i$



$d = 0$ :

$F_n(t_\bullet, t_o) =$  f.g. des chemins de Dyck de longueur  $2n$  (de 0 à 0 restant  $\geq 0$ ), avec poids  $Q_i$  (resp.  $P_i$ ) par descente  $i \rightarrow i - 1$  suivant une montée (resp. une descente)

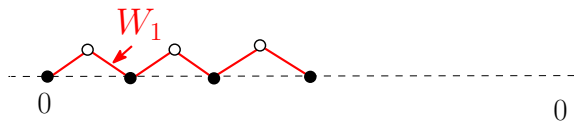
→ deux interprétations pour  $F_n(t_\bullet, t_\circ)$



# Fractions continues

Résultat classique sur les chemins de Dyck

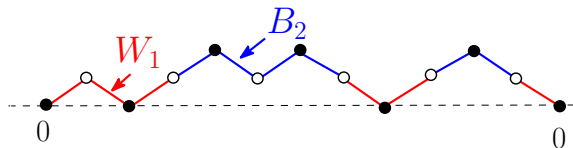
$$F(z) \equiv \sum_{n \geq 0} F_n z^n = \frac{1}{1 - zW_1}$$



# Fractions continues

Résultat classique sur les chemins de Dyck

$$F(z) \equiv \sum_{n \geq 0} F_n z^n = \frac{1}{1 - z \frac{W_1}{1 - z B_2}}$$



# Fractions continues

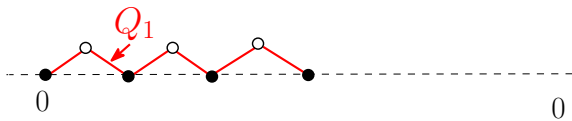
Résultat classique sur les chemins de Dyck

$$F(z) \equiv \sum_{n \geq 0} F_n z^n = \frac{1}{1 - z \frac{1}{1 - z \frac{B_2}{1 - z \frac{W_3}{1 - z \frac{B_4}{1 - \dots}}}}} \frac{1}{W_1}$$

→ fraction continue de [Stieltjes](#)

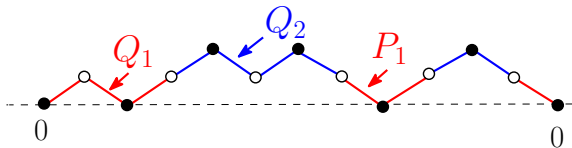
Mais on a aussi

$$F(z) = \frac{1}{1-zQ_1}$$



Mais on a aussi

$$F(z) = \frac{1}{1 - zQ_1 - zP_1 \left( \frac{1}{1 - zQ_2} - 1 \right)} = \frac{1}{1 - z(Q_1 - P_1) - z \frac{P_1}{1 - zQ_2}}$$



Mais on a aussi

$$F(z) = \frac{1}{1 - z(Q_1 - P_1) - z \frac{P_1}{1 - z(Q_2 - P_2) - z \frac{P_2}{1 - z(Q_3 - P_3) - z \frac{P_3}{1 - \dots}}}}$$

qui se réécrit

$$F(z) = \frac{1}{1 - zY_1 - z \frac{Y_2}{1 - zY_3 - z \frac{Y_4}{1 - zY_5 - z \frac{Y_6}{1 - \dots}}}}$$

où

$$Y_{2i-1} \equiv Q_i - P_i, \quad Y_{2i} = P_i$$

→ fraction continue de [Thron](#) ou  $T$ -fraction  
(voir Roblet et Viennot 1994 - merci à A. Sokal)

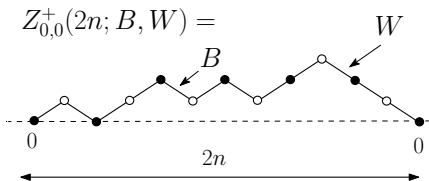
## Expression pour $F_n$

De l'analyse de l'ensemble 1, on montre facilement que

$$F_n = A_0 Z_{0,0}^+(2n; B, W) + A_1 Z_{0,0}^+(2n + 2; B, W)$$

$$A_0 = \frac{B}{t_\bullet} (1 - B - W), \quad A_1 = -\frac{B}{t_\bullet}$$

où





## Expression pour $F_n$

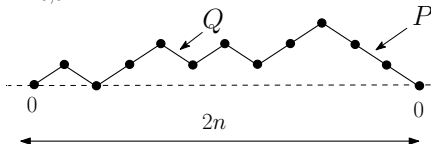
On en déduit immédiatement que pour l'ensemble 2

$$F_n = A_0 Z_{0,0}^+(2n; P, Q) + A_1 Z_{0,0}^+(2n + 2; P, Q)$$

$$A_0 = \frac{P}{t_\bullet} (1 - P - Q), \quad A_1 = -\frac{P}{t_\bullet}$$

où

$$Z_{0,0}^+(2n; P, Q) =$$



Posons en effet

$$Z(z; P, Q) \equiv \sum_{n \geq 0} Z_{0,0}^+(2n; P, Q) z^n$$

D'après la définition de l'ensemble 1,  $Z(z; P, Q)$  est solution de

$$Z(z; P, Q) = \frac{1}{1 - z \frac{Q}{1 - z P Z(z; P, Q)}}$$

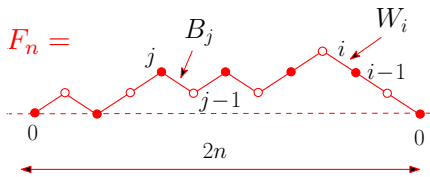
Cette équation est équivalente à

$$Z(z; P, Q) = \frac{1}{1 - z(Q - P) - z P Z(z; P, Q)}$$

d'où l'interprétation dans l'ensemble 2

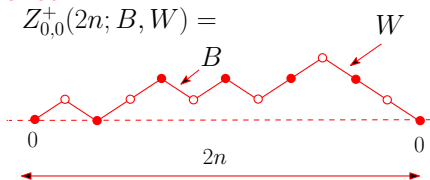
Rq:  $[Q^m P^{n-m}] Z_{0,0}^+(2n; P, Q) =$  nombre de Narayana  $N(n, m)$

# Comparaison des deux ensembles

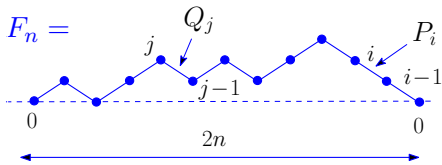


$$F_n = A_0 Z_{0,0}^+(2n; B, W) + A_1 Z_{0,0}^+(2n+2; B, W)$$

avec

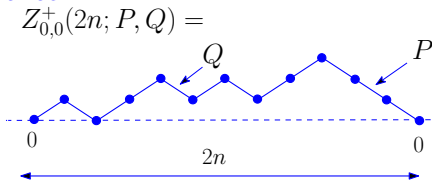


$P_i, Q_i$ : développement de  $F(z)$  en fraction continue de Stieltjes



$$F_n = A_0 Z_{0,0}^+(2n; P, Q) + A_1 Z_{0,0}^+(2n+2; P, Q)$$

avec



$P_i, Q_i$ : développement de  $F(z)$  en fraction continue de Thron

# Le cas Stieltjes

On peut obtenir  $B_i$  et  $W_i$  à partir des  $F_n$

En effet, un résultat standard de la théorie des fractions continues de Stieltjes dit que

$$B_{2i} = \frac{h_i^{(0)}}{h_{i-1}^{(0)}} \bigg/ \frac{h_{i-1}^{(1)}}{h_{i-2}^{(1)}} \qquad W_{2i-1} = \frac{h_{i-1}^{(1)}}{h_{i-2}^{(1)}} \bigg/ \frac{h_{i-1}^{(0)}}{h_{i-2}^{(0)}}$$

pour  $i \geq 1$ , en termes des déterminants de Hankel

$$h_i^{(0)} = \det(F_{n+m})_{0 \leq n, m \leq i} \qquad h_i^{(1)} = \det(F_{n+m+1})_{0 \leq n, m \leq i}$$

et la convention  $h_{-1}^{(0)} = h_{-1}^{(1)} = 1$

Pour l'autre parité  $B_{2i-1}$  et  $W_{2i}$ , il suffit d'échanger  $t_\bullet$  et  $t_\circ$ .

## Expressions pour $B_i$ et $W_i$

Le calcul explicite des déterminants de Hankel conduit à

$$\begin{aligned} B_{2i} &= B \frac{(1-x^{2i})(1-\gamma x^{2i+3})}{(1-\gamma x^{2i+1})(1-x^{2i+2})} & W_{2i+1} &= W \frac{(1-\gamma x^{2i+1})(1-x^{2i+4})}{(1-x^{2i+2})(1-\gamma x^{2i+3})} \\ B_{2i+1} &= B \frac{(1-x^{2i+1}/\gamma)(1-x^{2i+4})}{(1-x^{2i+2})(1-x^{2i+3}/\gamma)} & W_{2i} &= W \frac{(1-x^{2i})(1-x^{2i+3}/\gamma)}{(1-x^{2i+1}/\gamma)(1-x^{2i+2})} \end{aligned}$$

où  $x$  et  $\gamma$  sont obtenus en fonction de  $B$  et  $W$  (eux-mêmes fonctions de  $t_\bullet$  et  $t_\circ$ ) via

$$1 - 2(B + W) - \sqrt{BW} \left( x + \frac{1}{x} \right) = 0$$

$$\gamma = \frac{\sqrt{B/W} + x}{1 + \sqrt{B/W} x}$$

# Le cas Thron

Peut-on obtenir de la même façon les  $P_i$  et  $Q_i$  à partir des  $F_n$  ?

Un résultat un peu moins standard (voir Di Francesco et Kedem 2010) nous dit que

$P_i$  et  $Q_i$  s'expriment en termes de déterminants "de type Hankel"  
 $\det(F_{n+m-i-2})_{0 \leq n, m \leq i}$  et  $\det(F_{n+m-i-1})_{0 \leq n, m \leq i}$

Problème: Fait intervenir des  $F_n$  pour  $n$  négatif. Que valent-ils ?

En fait, n'importe quel choix de  $F_n$  pour  $n$  négatif donne **une solution**  $(P_i, Q_i)_{i \geq 1}$  dont la fraction continue de Thron est égale à  $F(z)$

Ce n'est pas surprenant car le système qui donne les  $P_i$  et  $Q_i$  en terme des  $F_n$  est **sous-déterminé**

$$F(z) = \frac{1}{1 - zY_1 - z \frac{Y_2}{1 - zY_3 - z \frac{Y_4}{1 - zY_5 - z \frac{Y_6}{1 - \dots}}}}$$

donne en développant en  $z$

$$F_1 = (Y_1 + Y_2)$$

$$F_2 = (Y_1 + Y_2)^2 + Y_2(Y_3 + Y_4)$$

$\vdots$

et on voit qu'à chaque étape, deux nouveaux  $Y_i$  apparaissent

Il y a moins d'information dans les  $F_n$  que dans les  $P_i$  et  $Q_i$

NB: Le même problème est en fait déjà présent dans le cas bicolorié où la donnée de  $F_n(t_\bullet, t_\circ)$  ne permet pas de calculer tous les  $B_i$  et  $W_i$  mais seulement les  $B_{2i}$  et les  $W_{2i-1}$ . La moitié manquante de l'information n'est autre que  $F_n(t_\circ, t_\bullet)$  et est donc facilement accessible par symétrie.

Ici, on a accès uniquement à certaines combinaisons de  $Y_i$ . La moitié manquante de l'information est la donnée de la fraction continue de Thron **duale** (voir Roblet et Viennot)

$$\tilde{F}(z) \equiv \sum_{n \geq 0} \tilde{F}_n z^n = \frac{1}{1 - z\tilde{Y}_1 - z \frac{\tilde{Y}_2}{1 - z\tilde{Y}_3 - z \frac{\tilde{Y}_4}{1 - z\tilde{Y}_5 - z \frac{\tilde{Y}_6}{1 - \dots}}}}$$

où nous avons défini (en supposant  $Y_{2i-1} \neq 0$  pour tout  $i \geq 1$ )

$$\tilde{Y}_{2i-1} \equiv \frac{1}{Y_{2i-1}}, \quad \tilde{Y}_{2i} \equiv \frac{Y_{2i}}{Y_{2i-1}Y_{2i+1}}$$

En développant en  $z$

$$F_1 = (Y_1 + Y_2)$$

$$\tilde{F}_1 = \frac{(Y_2 + Y_3)}{Y_1 Y_3}$$

$$F_2 = (Y_1 + Y_2)^2 + Y_2(Y_3 + Y_4)$$

$$\tilde{F}_2 = \frac{(Y_2 + Y_3)^2}{(Y_1 Y_3)^2} + \frac{Y_2(Y_4 + Y_5)}{Y_1 Y_3^2 Y_5}$$

⋮

et la donnée de  $F(z)$ ,  $\tilde{F}(z)$  et  $Y_1$  fixe les  $Y_i$  (donc les  $P_i$  et  $Q_i$ )

# Formules de Di Francesco Kedem

Si on pose

$$f_n \equiv \begin{cases} 1 & \text{si } n = 0 \\ Y_1 F_{n-1} & \text{si } n \geq 1 \\ \tilde{F}_{-n} & \text{si } n \leq -1 \end{cases}$$

et on définit

$$H_i^{(0)} \equiv \det(f_{n+m-i-1})_{1 \leq n, m \leq i}$$

$$H_i^{(1)} \equiv (f_{n+m-i})_{1 \leq n, m \leq i}$$

alors

$$Y_{2i} = \frac{H_{i-1}^{(0)}}{H_i^{(0)}} \bigg/ \frac{H_i^{(1)}}{H_{i+1}^{(1)}}$$

$$Y_{2i-1} = \frac{H_i^{(1)}}{H_{i-1}^{(1)}} \bigg/ \frac{H_i^{(0)}}{H_{i-1}^{(0)}}$$

avec la convention  $H_0^{(0)} = H_0^{(1)} = 0$

Ces formules découlent immédiatement des expressions explicites

$$\begin{aligned}
 H_i^{(0)} &\equiv \begin{vmatrix} f_{-(i-1)} & \cdots & \cdots & f_0 \\ \vdots & \ddots & \ddots & f_1 \\ \vdots & \ddots & \ddots & \vdots \\ f_0 & f_1 & \cdots & f_{i-1} \end{vmatrix} \\
 &= \left(\frac{Y_2}{Y_3}\right)^{i-1} \left(\frac{Y_4}{Y_5}\right)^{i-2} \cdots \left(\frac{Y_{2i-4}}{Y_{2i-3}}\right)^2 \left(\frac{Y_{2i-2}}{Y_{2i-1}}\right)
 \end{aligned}$$

$$H_i^{(1)} \equiv \begin{vmatrix} f_{-(i-2)} & \cdots & \cdots & f_1 \\ \vdots & \ddots & \ddots & f_2 \\ \vdots & \ddots & \ddots & \vdots \\ f_1 & f_2 & \cdots & f_i \end{vmatrix} = Y_1 Y_3 Y_5 \cdots Y_{2i-1} H_i^{(0)}$$

Peut-on facilement comprendre ces expressions ?

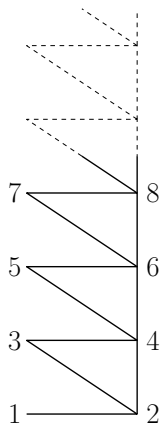
## Une démonstration à coup d'empilements

$$\text{On a } f_n \equiv \begin{cases} 1 & \text{si } n = 0 \\ Y_1 F_{n-1} & \text{si } n \geq 1 \\ \tilde{F}_{-n} & \text{si } n \leq -1 \end{cases} \quad \text{et donc}$$

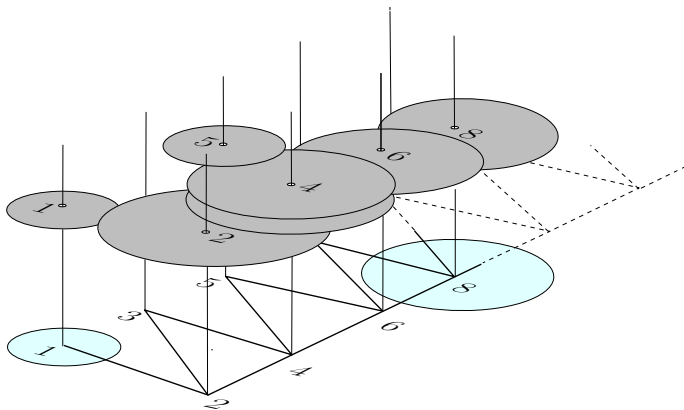
$$f^+(z) \equiv \sum_{n \geq 0} f_n z^n = 1 + z Y_1 F(z) = \frac{1}{1 - z \frac{1}{Y_1}} = \frac{1}{1 - z \frac{1}{1 - z \frac{1}{Y_2}}} = \frac{1}{1 - z Y_3 - z \frac{1}{1 - z Y_5 - z \frac{1}{1 - \dots}}} = \frac{1}{1 - z Y_3 - z \frac{Y_4}{1 - z Y_5 - z \frac{Y_6}{1 - \dots}}}$$

$$f^-(z) \equiv \sum_{n \geq 0} f_{-n} z^n = \tilde{F}(z) = \frac{1}{1 - z \tilde{Y}_1 - z \frac{1}{1 - z \tilde{Y}_3 - z \frac{1}{1 - z \tilde{Y}_5 - z \frac{1}{1 - \dots}}}} = \frac{1}{1 - z \tilde{Y}_1 - z \frac{\tilde{Y}_2}{1 - z \tilde{Y}_3 - z \frac{\tilde{Y}_4}{1 - z \tilde{Y}_5 - z \frac{\tilde{Y}_6}{1 - \dots}}}}$$

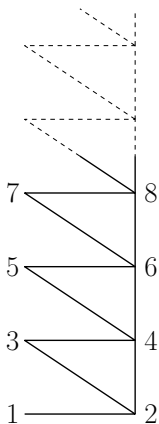
On voit que  $f_n$  et  $f_{-n}$  comptent des empilements de pièces sur le graphe



On voit que  $f_n$  et  $f_{-n}$  comptent des empilements de pièces sur le graphe



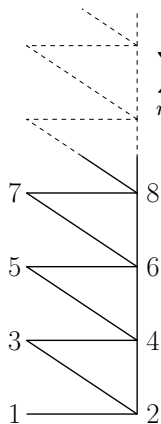
On voit que  $f_n$  et  $f_{-n}$  comptent des empilements de pièces sur le graphe



$$\sum_{n \geq 0} f_n z^n = \frac{1}{1 - z \frac{1}{Y_1}} \frac{1}{1 - z \frac{Y_2}{1 - z \frac{Y_4}{1 - z Y_3 - z \frac{Y_6}{1 - z Y_5 - z \frac{Y_6}{1 - \dots}}}}}$$

$f_n$  compte les empilements de  $n$  pièces de base  $\{1\}$  avec poids  $Y_i$  par pièce à position  $i$

On voit que  $f_n$  et  $f_{-n}$  comptent des empilements de pièces sur le graphe

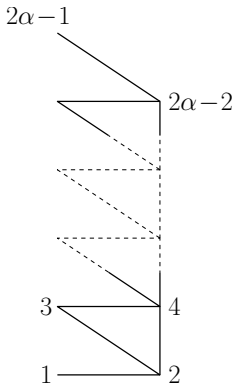


$$\sum_{n \geq 0} f_{-n} z^n = \frac{1}{1 - z\tilde{Y}_1 - z \frac{1}{1 - z\tilde{Y}_3 - z \frac{1}{1 - z\tilde{Y}_5 - z \frac{1}{1 - \dots}}}} \frac{\tilde{Y}_2}{1 - z\tilde{Y}_3 - z \frac{1}{1 - z\tilde{Y}_5 - z \frac{1}{1 - \dots}}} \frac{\tilde{Y}_4}{1 - z\tilde{Y}_5 - z \frac{1}{1 - \dots}} \frac{\tilde{Y}_6}{1 - \dots}$$

$f_n$  compte les empilements de  $n$  pièces de base  $\{1\}$   
avec poids  $Y_i$  par pièce à position  $i$

$f_{-n}$  compte les empilements de  $n$  pièces de base  $\{1, 2\}$   
avec poids  $\tilde{Y}_i$  par pièce à position  $i$

Si on se limite aux empilements sur un **sous-graphe fini**



$f_n^{(\alpha)} \equiv$  empilements de  $n$  pièces de base  $\{1\}$   
avec poids  $Y_i$  par pièce à position  $i$

$f_{-n}^{(\alpha)} \equiv$  empilements de  $n$  pièces de base  $\{1, 2\}$   
avec poids  $\tilde{Y}_i$  par pièce à position  $i$

$X_n^{(\alpha)} \equiv$  configurations de  $n$  pièces dures  
avec poids  $Y_i$  par pièce à position  $i$

alors pour tout  $n$ , on a la dépendance linéaire à  $\alpha + 1$  termes

$$\sum_{m=0}^{\alpha} (-1)^m X_m^{(\alpha)} f_{n-m}^{(\alpha)} = 0$$

exemple:  $\alpha = 3$  (relation linéaire à 4 termes)

$$X_0^{(3)} = 1$$

$$X_1^{(3)} = Y_1 + Y_2 + Y_3 + Y_4 + Y_5$$

$$X_2^{(3)} = Y_1(Y_3 + Y_4 + Y_5) + (Y_2 + Y_3)Y_5$$

$$X_3^{(3)} = Y_1Y_3Y_5$$

$$f_0^{(3)} = 1$$

$$f_1^{(3)} = Y_1$$

$$f_2^{(3)} = Y_1(Y_1 + Y_2)$$

$$f_{-1}^{(3)} = \frac{1}{Y_1} + \frac{Y_2}{Y_1Y_3}$$

pour  $n = 2$ , la relation s'écrit

$$f_2^{(3)} X_0^{(3)} - f_1^{(3)} X_1^{(3)} + f_0^{(3)} X_2^{(3)} - f_{-1}^{(3)} X_3^{(3)} = \\ Y_1(Y_1 + Y_2) \times 1 - Y_1 \times (Y_1 + Y_2 + Y_3 + Y_4 + Y_5) + 1 \times (Y_1(Y_3 + Y_4 + Y_5) + (Y_2 + Y_3)Y_5) - \left(\frac{1}{Y_1} + \frac{Y_2}{Y_1Y_3}\right) \times Y_1Y_3Y_5 = 0 \checkmark$$

Dans le calcul de  $H_i^{(0)} = \det(f_{n+m-i-1})_{1 \leq n, m \leq i}$ , on a  $i$  colonnes

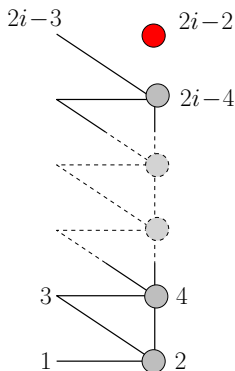
Pour utiliser la relation linéaire à  $i$  termes (qui donnerait un déterminant nul !), il faudrait rester sur le graphe de taille finie avec  $\alpha = i - 1$

En fait, pour  $1 \leq n, m \leq i$ ,  $f_{n+m-i-1} = f_{n+m-i-1}^{(i-1)}$  sauf pour  $n = m = 1$  car  $f_{-i+1}$  (empilement de  $i - 1$  pièces de base  $\{1, 2\}$ ) atteint la position  $2i - 2$  sur le graphe infini  $\rightarrow$  terme  $\tilde{Y}_2 \tilde{Y}_4 \cdots \tilde{Y}_{2i-2}$

Dans le calcul de  $H_i^{(0)} = \det(f_{n+m-i-1})_{1 \leq n, m \leq i}$ , on a  $i$  colonnes

Pour utiliser la relation linéaire à  $i$  termes (qui donnerait un déterminant nul !), il faudrait rester sur le graphe de taille finie avec  $\alpha = i - 1$

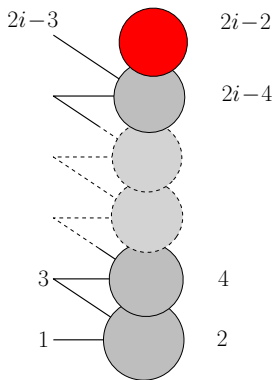
En fait, pour  $1 \leq n, m \leq i$ ,  $f_{n+m-i-1} = f_{n+m-i-1}^{(i-1)}$  sauf pour  $n = m = 1$  car  $f_{-i+1}$  (empilement de  $i - 1$  pièces de base  $\{1, 2\}$ ) atteint la position  $2i - 2$  sur le graphe infini  $\rightarrow$  terme  $\tilde{Y}_2 \tilde{Y}_4 \cdots \tilde{Y}_{2i-2}$



Dans le calcul de  $H_i^{(0)} = \det(f_{n+m-i-1})_{1 \leq n, m \leq i}$ , on a  $i$  colonnes

Pour utiliser la relation linéaire à  $i$  termes (qui donnerait un déterminant nul !), il faudrait rester sur le graphe de taille finie avec  $\alpha = i - 1$

En fait, pour  $1 \leq n, m \leq i$ ,  $f_{n+m-i-1} = f_{n+m-i-1}^{(i-1)}$  sauf pour  $n = m = 1$  car  $f_{-i+1}$  (empilement de  $i - 1$  pièces de base  $\{1, 2\}$ ) atteint la position  $2i - 2$  sur le graphe infini  $\rightarrow$  terme  $\tilde{Y}_2 \tilde{Y}_4 \cdots \tilde{Y}_{2i-2}$



Dans le calcul de  $H_i^{(0)} = \det(f_{n+m-i-1})_{1 \leq n, m \leq i}$ , on a  $i$  colonnes

Pour utiliser la relation linéaire à  $i$  termes (qui donnerait un déterminant nul !), il faudrait rester sur le graphe de taille finie avec  $\alpha = i - 1$

En fait, pour  $1 \leq n, m \leq i$ ,  $f_{n+m-i-1} = f_{n+m-i-1}^{(i-1)}$  sauf pour  $n = m = 1$  car  $f_{-i+1}$  (empilement de  $i - 1$  pièces de base  $\{1, 2\}$ ) atteint la position  $2i - 2$  sur le graphe infini  $\rightarrow$  terme  $\tilde{Y}_2 \tilde{Y}_4 \cdots \tilde{Y}_{2i-2}$

$$H_i^{(0)} = \begin{vmatrix} \tilde{Y}_2 \tilde{Y}_4 \cdots \tilde{Y}_{2i-2} & f_{-(i-2)} & \cdots & f_0 \\ 0 & f_{-(i-3)} & \ddots & f_1 \\ \vdots & \ddots & \ddots & \vdots \\ 0 & f_1 & \cdots & f_{i-1} \end{vmatrix} = \tilde{Y}_2 \tilde{Y}_4 \cdots \tilde{Y}_{2i-2} H_{i-1}^{(1)}$$

Dans le calcul de  $H_i^{(0)} = \det(f_{n+m-i-1})_{1 \leq n, m \leq i}$ , on a  $i$  colonnes

Pour utiliser la relation linéaire à  $i$  termes (qui donnerait un déterminant nul !), il faudrait rester sur le graphe de taille finie avec  $\alpha = i - 1$

En fait, pour  $1 \leq n, m \leq i$ ,  $f_{n+m-i-1} = f_{n+m-i-1}^{(i-1)}$  sauf pour  $n = m = 1$  car  $f_{-i+1}$  (empilement de  $i - 1$  pièces de base  $\{1, 2\}$ ) atteint la position  $2i - 2$  sur le graphe infini  $\rightarrow$  terme  $\tilde{Y}_2 \tilde{Y}_4 \cdots \tilde{Y}_{2i-2}$

$$H_i^{(0)} = \begin{vmatrix} \tilde{Y}_2 \tilde{Y}_4 \cdots \tilde{Y}_{2i-2} & f_{-(i-2)} & \cdots & f_0 \\ 0 & f_{-(i-3)} & \ddots & f_1 \\ \vdots & \ddots & \ddots & \vdots \\ 0 & f_1 & \cdots & f_{i-1} \end{vmatrix} = \tilde{Y}_2 \tilde{Y}_4 \cdots \tilde{Y}_{2i-2} H_{i-1}^{(1)}$$

De même, on montre

$$H_i^{(1)} = Y_1(Y_2 Y_4 \cdots Y_{2i-2}) H_{i-1}^{(0)}$$

et les formules de Di Francesco Kedem en découlent immédiatement

Peut-on deviner  $\tilde{F}_n$  connaissant  $F_n$  ?

On a besoin de connaître  $f_n = \begin{cases} 1 & \text{si } n = 0 \\ Y_1 F_{n-1} & \text{si } n \geq 1 \\ \tilde{F}_{-n} & \text{si } n \leq -1 \end{cases}$

Faute de mieux, on va deviner les valeurs de  $Y_1$  et  $\tilde{F}_{-n}$ .

Il y a un choix naturel dicté par le cas des fractions de Thron finies !

Imaginons connue la fraction continue finie

$$F^{(\alpha)}(z) = \frac{1}{1 - zY_1 - z \frac{Y_2}{1 - zY_3 - z \frac{Y_4}{\ddots \frac{Y_{2\alpha-2}}{1 - zY_{2\alpha-3} - z \frac{Y_{2\alpha-2}}{1 - Y_{2\alpha-1}}}}}}$$

on voit aisément que

$$F^{(\alpha)}(z) = \frac{\text{pol. de degré } \alpha - 1}{\text{pol. de degré } \alpha}$$

$F^{(\alpha)}(z)$  dépend de  $\alpha + (\alpha + 1) - 1$  (facteur global)  $- 1$  ( $F^{(\alpha)}(0) = 1$ )  
 $= 2\alpha - 1$  coefficients.

La connaissance de  $F^{(\alpha)}(z)$  seule est suffisante pour déterminer les  $2\alpha - 1$   
 inconnues  $Y_i$  en jeu (i.e.  $i = 1, 3, \dots, 2\alpha - 1$ )

Solution du “paradoxe”

$$Y_{2\alpha} = 0 \Rightarrow \tilde{Y}_{2\alpha} = 0$$

$$\tilde{F}^{(\alpha)}(z) = \sum_n \tilde{F}_n z^n = \frac{1}{1 - z\tilde{Y}_1 - z \frac{\tilde{Y}_2}{1 - z\tilde{Y}_3 - z \frac{\tilde{Y}_4}{\ddots \frac{\tilde{Y}_{2\alpha-2}}{1 - \tilde{Y}_{2\alpha-1}}}}}$$

est aussi une  $T$ -fraction finie

$F^{(\alpha)}(z)$  dépend de  $\alpha + (\alpha + 1) - 1$  (facteur global)  $-1$  ( $F^{(\alpha)}(0) = 1$ )  
 $= 2\alpha - 1$  coefficients.

La connaissance de  $F^{(\alpha)}(z)$  seule est suffisante pour déterminer les  $2\alpha - 1$  inconnues  $Y_i$  en jeu (i.e.  $i = 1, 3, \dots, 2\alpha - 1$ )

Solution du “paradoxe”

on a

$$\tilde{F}^{(\alpha)}(z) = -\frac{Y_1}{z} F^{(\alpha)}(1/z)$$

ce qui, en demandant  $\tilde{F}^{(\alpha)}(0) = 1$ , fixe  $Y_1$  à

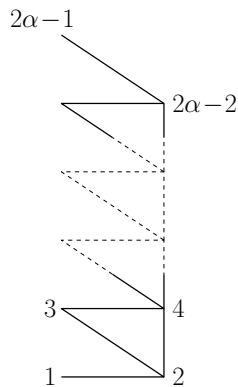
$$Y_1 = -\frac{1}{\lim_{z \rightarrow \infty} z F^{(\alpha)}(z)}$$

ainsi que tous les  $\tilde{F}_n$  ( $n \geq 0$ ) via  $\tilde{F}_n = -Y_1 [z^{n+1}] F^{(\alpha)}(1/z)$

# Une preuve via les pièces dures

$$f^{+(\alpha)}(z) \equiv 1 + z Y_1 F^{(\alpha)}(z)$$

$$= \frac{1}{1 - z \frac{1}{1 - z \frac{Y_1}{1 - z \frac{Y_2}{1 - z \frac{Y_3}{1 - z \frac{Y_4}{\ddots}}}}}}}$$

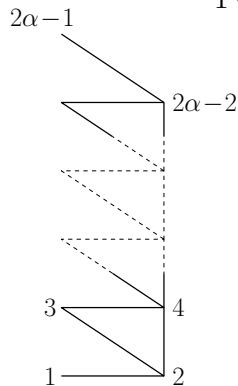


$$= \sum_{n \geq 0} f_n^{(\alpha)} z^n$$

$f_n^{(\alpha)}$  = f.g. d'empilements de  $n$  pièces de base  $\{1\}$ , sur **graphe fini**, avec poids  $Y_i$

# Une preuve via les pièces dures

$$\begin{aligned}
 f^{-(\alpha)}(z) &\equiv \tilde{F}^{(\alpha)}(z) \\
 &= \frac{1}{1 - z\tilde{Y}_1 - z \frac{\tilde{Y}_2}{1 - z\tilde{Y}_3 - z \frac{\tilde{Y}_4}{\ddots}}}} \\
 &= \sum_{n \geq 0} f_{-n}^{(\alpha)} z^n
 \end{aligned}$$



$f_{-n}^{(\alpha)}$  = f.g. d'empilements de  $n$  pièces  
de base  $\{1, 2\}$ , sur **graphe fini**, avec poids  $\tilde{Y}_i$

$X_n^{(\alpha)} \equiv$  configurations de  $n$  pièces dures avec poids  $Y_i$  par pièce à position  $i \rightarrow$  f.g.  $X^{(\alpha)}(z) = \sum_{n=0}^{\alpha} X_n^{(\alpha)} z^n$  (polynôme)

$\tilde{X}_n^{(\alpha)} \equiv$  configurations de  $n$  pièces dures avec poids  $\tilde{Y}_i$  par pièce à position  $i \rightarrow$  f.g.  $\tilde{X}^{(\alpha)}(z) = \sum_{n=0}^{\alpha} \tilde{X}_n^{(\alpha)} z^n$  (polynôme)

alors on a le résultat classique

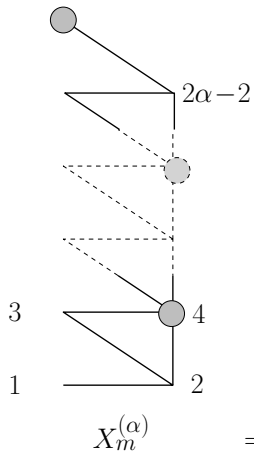
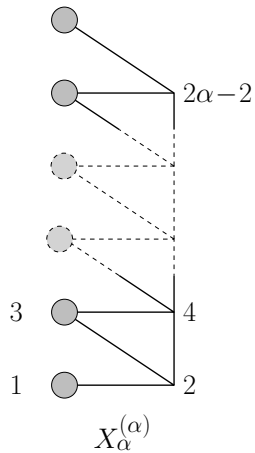
$$f^{+(\alpha)}(z) = \frac{X^{(\alpha)}(-z)|_{Y_1=0}}{X^{(\alpha)}(-z)}$$

$$f^{-(\alpha)}(z) = \frac{\tilde{X}^{(\alpha)}(-z)|_{\tilde{Y}_1=\tilde{Y}_2=0}}{\tilde{X}^{(\alpha)}(-z)}$$

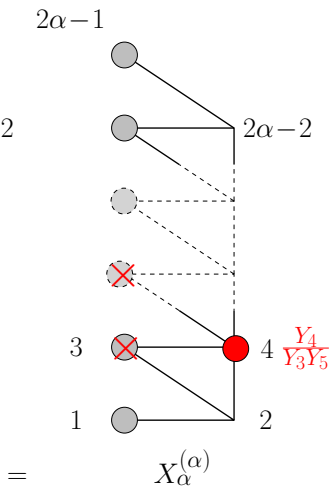
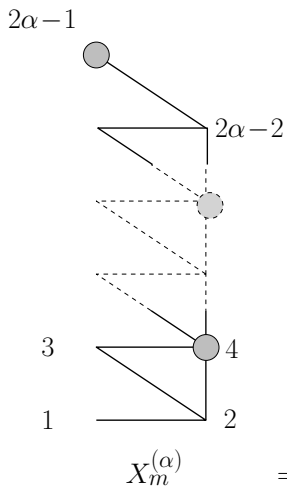
Par ailleurs

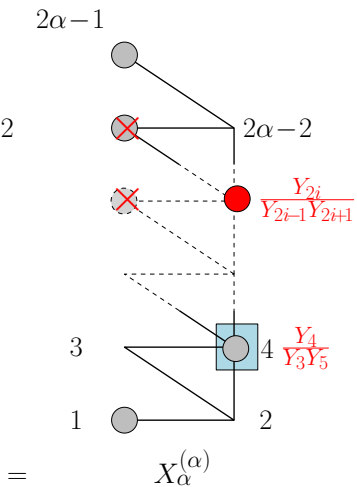
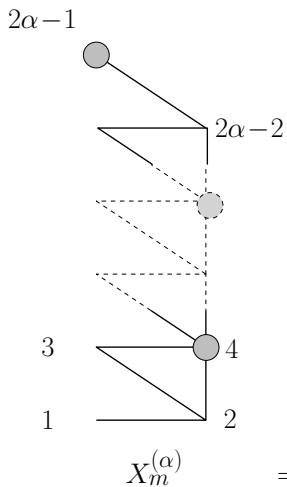
$$X_m^{(\alpha)} = X_{\alpha}^{(\alpha)} \tilde{X}_{\alpha-m}^{(\alpha)}$$

$$X_m^{(\alpha)}|_{Y_1=0} = X_{\alpha}^{(\alpha)} \left( \tilde{X}_{\alpha-m}^{(\alpha)} - \tilde{X}_{\alpha-m}^{(\alpha)}|_{\tilde{Y}_1=\tilde{Y}_2=0} \right)$$

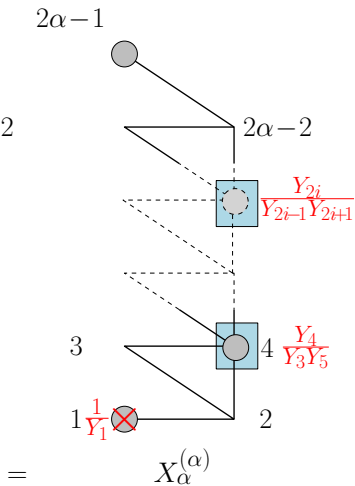
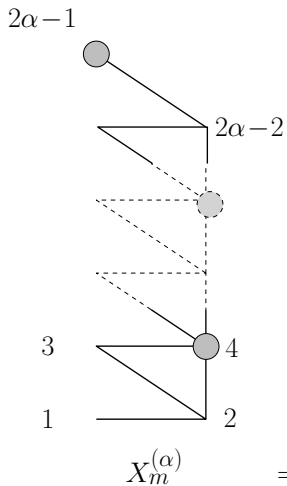
$2\alpha-1$  $2\alpha-1$ 

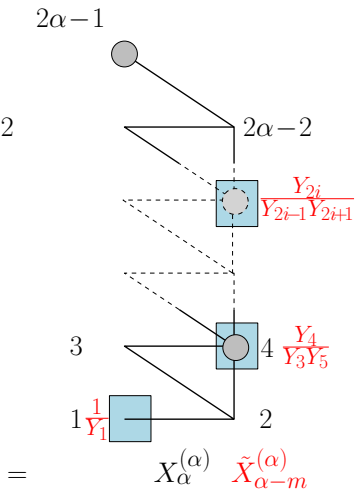
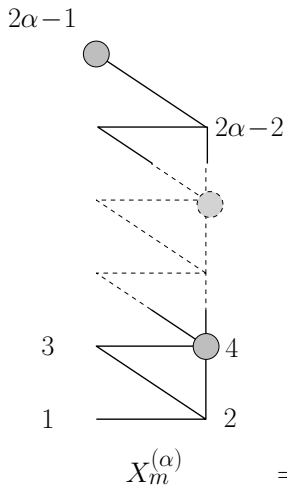
=

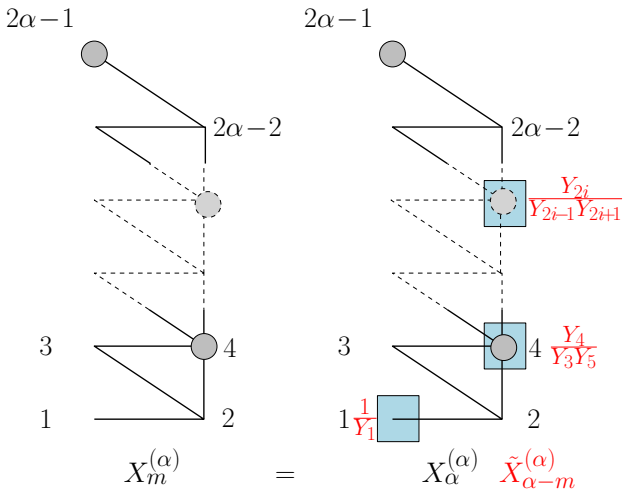




=







$X_m^{(\alpha)}|_{Y_1=0} \rightarrow$  position 1 non occupée à gauche  $\rightarrow$  position 1 ou 2 occupée à droite  $\rightarrow X_\alpha^{(\alpha)} \underbrace{\left( \tilde{X}_{\alpha-m}^{(\alpha)} - \tilde{X}_{\alpha-m}^{(\alpha)}|_{\tilde{Y}_1=\tilde{Y}_2=0} \right)}_{\text{complémentaire de 1 et 2 vides}}$

$$X_m^{(\alpha)} = X_\alpha^{(\alpha)} \tilde{X}_{\alpha-m}^{(\alpha)}$$

$$X_m^{(\alpha)}|_{Y_1=0} = X_\alpha^{(\alpha)} \left( \tilde{X}_{\alpha-m}^{(\alpha)} - \tilde{X}_{\alpha-m}^{(\alpha)}|_{\tilde{Y}_1=\tilde{Y}_2=0} \right)$$

$$X^{(\alpha)}(-1/z) = X_\alpha^{(\alpha)} (-1/z)^\alpha \tilde{X}^{(\alpha)}(-z)$$

$$X^{(\alpha)}(-1/z)|_{Y_1=0} = X_\alpha^{(\alpha)} (-1/z)^\alpha \left( \tilde{X}^{(\alpha)}(-z) - \tilde{X}^{(\alpha)}(-z)|_{\tilde{Y}_1=\tilde{Y}_2=0} \right)$$

$$f^{+(\alpha)}(1/z) = \frac{X^{(\alpha)}(-1/z)|_{Y_1=0}}{X^{(\alpha)}(-1/z)} = 1 - \frac{\tilde{X}^{(\alpha)}(-z)|_{\tilde{Y}_1=\tilde{Y}_2=0}}{\tilde{X}^{(\alpha)}(-z)} = 1 - f^{-(\alpha)}(z)$$

$$\Rightarrow 1 + \frac{Y_1}{z} F^{(\alpha)}(1/z) = 1 - \tilde{F}^{(\alpha)}(z) \quad \Rightarrow \quad \tilde{F}^{(\alpha)}(z) = -\frac{Y_1}{z} F^{(\alpha)}(1/z)$$

Explication de la relation linéaire: on a

$$f^{-(\alpha)}(1/z) + f^{+(\alpha)}(z) - 1 = 0$$

et donc

$$X^{(\alpha)}(-z)f^{-(\alpha)}(1/z) + X^{(\alpha)}(-z)f^{+(\alpha)}(z) - X^{(\alpha)}(-z) = 0$$

Chacun des trois termes est un polynôme dont on peut extraire le terme en  $z^n$  ( $n \in \mathbb{Z}$ ) (pour le premier terme, on utilise le développement à grand  $z$  et pour le second, le développement à petit  $z$ ):

$$\sum_{m=\max(n,0)}^{\alpha} (-1)^m X_m^{(\alpha)} f_{-(m-n)}^{(\alpha)} + \sum_{m=0}^{\min(\alpha,n)} (-1)^m X_m^{(\alpha)} f_{n-m}^{(\alpha)} - \underbrace{(-1)^n X_n^{(\alpha)}}_{\neq 0 \text{ pour } n \in [0, \alpha]} = 0$$

qui, pour tout  $n \in \mathbb{Z}$ , se réécrit

$$\sum_{m=0}^{\alpha} (-1)^m X_m^{(\alpha)} f_{n-m}^{(\alpha)} = 0$$

## Une conjecture

on va supposer

$$\tilde{F}(z) = -\frac{Y_1}{z} F(1/z)$$

avec

$$Y_1 = -\frac{1}{\lim_{z \rightarrow \infty} zF(z)}$$

A partir de  $F_n = A_0 Z_{0,0}^+(2n; P, Q) + A_1 Z_{0,0}^+(2n+2; P, Q)$

$$A_0 = \frac{P}{t_\bullet} (1 - P - Q), \quad A_1 = -\frac{Q}{t_\bullet}$$

on en déduit

$$\tilde{F}_n = \frac{Y_1}{(Q - P)^{2n+1}} \left( A_0 Z_{0,0}^+(2n; P, Q) + A_1 (Q - P)^2 Z_{0,0}^+(2n - 2; P, Q) \right)$$

et

$$Y_1 = \frac{(Q - P)}{A_0 + A_1 (Q - P)} = \frac{(Q - P)(1 - P - 2Q)}{1 - 2Q}$$

## Calcul des $Y_i$

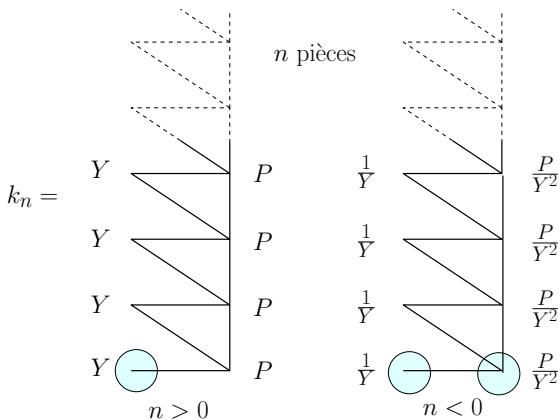
$$\text{On a } \begin{cases} 1 = \frac{Y_1 A_0}{Y} \times 1 + \frac{Y_1 A_1}{Y} \times Y & \text{si } n = 0 \\ f_n = \frac{Y_1 A_0}{Y} Y Z_{0,0}^+(2n-2; P, Q) + \frac{Y_1 A_1}{Y} Y Z_{0,0}^+(2n; P, Q) & \text{si } n \geq 1 \\ \frac{Y_1 A_0}{Y} \frac{Z_{0,0}^+(2|n|; P, Q)}{Y^{2|n|}} + \frac{Y_1 A_1}{Y} \frac{Z_{0,0}^+(2|n|-2; P, Q)}{Y^{2|n|-2}} & \text{si } n \leq -1 \end{cases}$$

où  $Y \equiv Q - P$

On voit que

$$f_n = \frac{Y_1 A_0}{Y} k_n + \frac{Y_1 A_1}{Y} k_{n+1}$$

où  $k_n$  compte les empilements de  $n$  pièces avec poids  $Y$  et  $P$  et base  $\{1\}$  pour  $n \geq 0$  et avec poids  $1/Y$  et  $P/Y^2$  et base  $\{1, 2\}$  pour  $n < 0$



→ spécialisation des résultats précédents à  $Y_{2i-1} = Y$  et  $Y_{2i} = P$   
 ( $\Rightarrow \tilde{Y}_{2i-1} = 1/Y$  et  $\tilde{Y}_{2i} = P/Y^2$ ):

il existe des **relations linéaires** entre les  $k_n$  consécutifs, à des termes de bord près

→ permet comme précédemment d'écrire des récurrences sur les déterminants

$$L_i^{(0)} \equiv \left(\frac{Y}{P}\right)^{\frac{i(i-1)}{2}} H_i^{(0)}, \quad L_i^{(1)} \equiv \frac{1}{Y^{i-1}} \left(\frac{Y}{P}\right)^{\frac{i(i-1)}{2}} H_i^{(1)}$$

$$L_i^{(0)} = A_0 \frac{Y_1}{Y^2} L_{i-1}^{(1)} + A_1 Y_1 L_{i-1}^{(0)}$$

$$L_i^{(1)} = A_0 \frac{Y_1}{Y} L_{i-1}^{(1)} + A_1 Y_1 (Y + P) L_{i-1}^{(0)}$$

ou encore

$$L_{i+1}^{(0)} = L_i^{(0)} - w L_{i-1}^{(0)} \quad w \equiv -A_0 A_1 \frac{Y_1^2}{Y^2} P$$

avec  $L_0^{(0)} = L_1^{(0)} = 1 \Rightarrow L_i^{(0)} \propto$  pol. de Tchebychev en  $1/\sqrt{4w}$

et  $L_i^{(1)} = Y L_i^{(0)} + (Y_1 - Y) L_{i-1}^{(0)}$

Tous calculs faits, on obtient

$$P_i = P \frac{(1 - y^i)(1 - \alpha y^{i+3})}{(1 - y^{i+1})(1 - \alpha y^{i+2})} \quad Q_i = Q \frac{(1 - y^i)(1 - \alpha^2 y^{i+3})}{(1 - \alpha y^{i+1})(1 - \alpha y^{i+2})},$$

où  $y$  et  $\alpha$  sont obtenus en fonction de  $P$  et  $Q$  (eux-mêmes fonctions de  $t_\bullet$  et  $t_\circ$ ) via

$$(1 - 2Q)^2 - P(1 - P - Q) \left( 2 + y + \frac{1}{y} \right) = 0$$

$$\alpha = \frac{1}{y^2} \frac{y(1 - P - 2Q) - P}{(1 - P - 2Q) - yP}$$

(NB: on vérifie que  $\alpha = 1/\gamma^2$  et  $y = \gamma x$ )

On retrouve les formules devinées par Ambjørn et Budd

# Conclusion

Une méthode constructive pour calculer  $P_i$  et  $Q_i$

Basée sur une conjecture (certes naturelle)

Peut-on la comprendre combinatoirement ?

Stieltjes et Thron sont deux extrêmes de fractions continues "mixtes"

Di Francesco Kedem considèrent aussi ces cas mixtes (mutations)

Correspondent-ils à d'autres ensembles de quadrangulations ?

## Conclusion

Une méthode constructive pour calculer  $P_i$  et  $Q_i$

Basée sur une conjecture (certes naturelle)

Peut-on la comprendre combinatoirement ?

Stieltjes et Thron sont deux extrêmes de fractions continues "mixtes"

Di Francesco Kedem considèrent aussi ces cas mixtes (mutations)

Correspondent-ils à d'autres ensembles de quadrangulations ?

# Merci !